



HRVATSKA KOMORA INŽENJERA GRAĐEVINARSTVA

15. Dani Hrvatske komore inženjera građevinarstva

Opatija, 2021.

Pristup konstrukcijskoj obnovi crkve Sv. Mihaela u Gračanima

Juraj Pojatina

Juraj Pojatina dipl.ing.građ., Studio Arhing d.o.o., Zagreb

Tamara Horvat mag.ing.aedif., Studio Arhing d.o.o., Zagreb

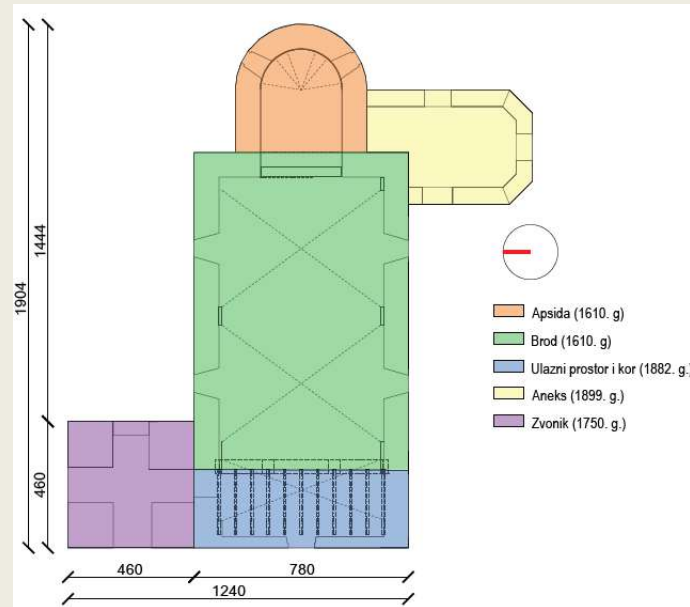
Izv.prof.dr.sc. Mario Uroš, dipl.ing.građ., Građevinski fakultet Zagreb

Maja Banićek, mag.ing.aedif., Građevinski fakultet Zagreb

OPĆENITO



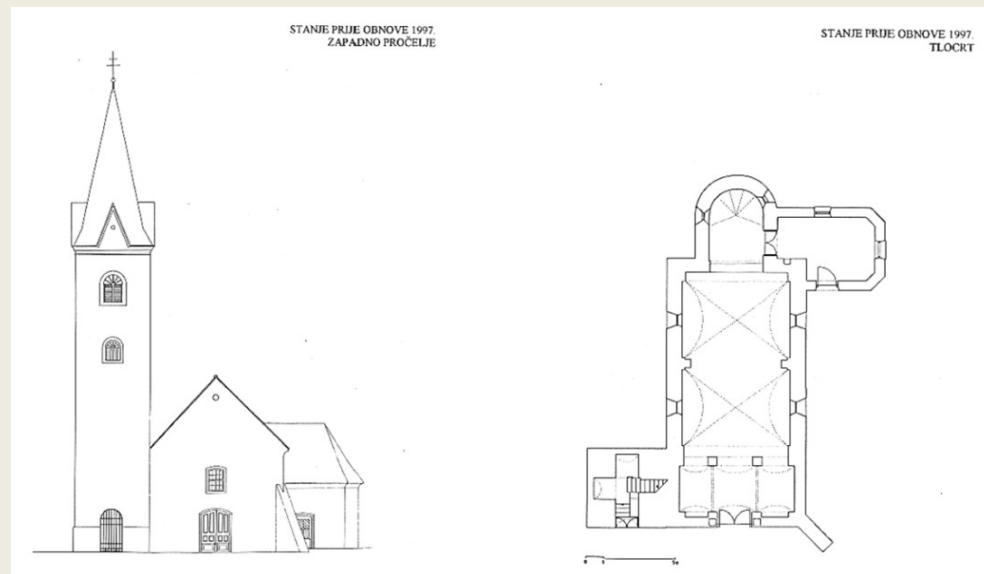
Fotografija građevine (izvor: stranice župe Gračani)



Tlocrtni prikaz građevine s osnovnim dijelovima

Prema zapisima vizitatora, crkva svetog Mihaila Arkandela sagrađena je 1610. godine na uzvisini uz ulicu Isce, u najstarijem dijelu zagrebačkog naselja Gračani. Pretpostavlja se da je graditelj bio grof Ivan Erdődy de Monyorokerek (ugarski biskup). Prvi se put spominje 1622. godine, dok je prvi opširniji opis kapele s tri oltara te grobljem oko nje iz 1695. godine. 1882. godine crkva je proširena prema zapadu te je izgrađen novi kor, no temelji su izvedeni samo ispod stupova i zidova predvorja, ne ispod cijelog zapadnog zida. 1899. izgrađena je nova sakristija. Nema podataka o oštećenju crkve u potresu 1880. te se pretpostavlja da su sva oštećenja sanirana prilikom proširenja i obnove 1882. Obzirom da temelji nisu postojali ispod cijelog zapadnog zida, došlo je do prevelikog slijeganja što je sanirano početkom 20.stoljeća izvedbom kontrafore na jugozapadnom uglu crkve. Krovište crkve je mijenjano 1997. godine. U toj obnovi izведен je horizontalni serklaž po obodu ziđa, te se zatvor crkve prezidao u omeđeno ziđe. Zidani zvonik izgrađen je 1750. godine, a 1870. dobiva novi, šiljasti oblik.

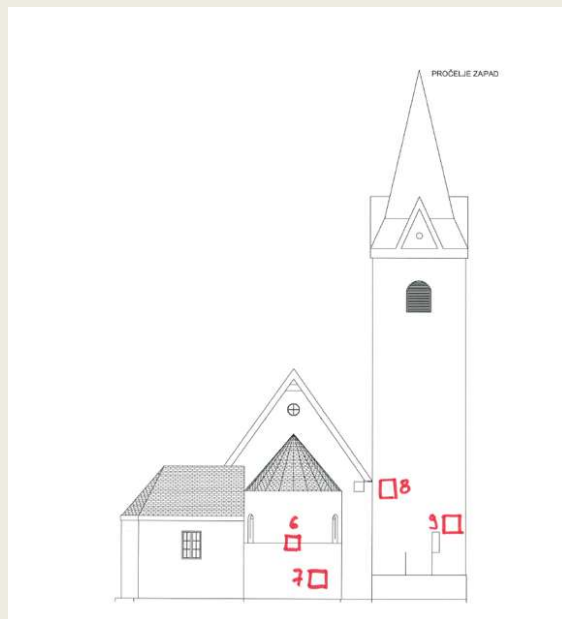
ARHITEKTURA I GEOMETRIJA



Zapadno pročelje i tlocrt (arhivski nacrt prije obnove 1997.)

Oblikovno se radi o jednobrodnoj crkvi, s polukružno zaključenim svetištem na istočnoj strani, sakristijom s južne strane te zvonikom sa sjeverne strane, u ravni zapadnog pročelja. Tlocrtno su dimenzije crkve $12,4\text{ m} \times 19,0\text{ m}$. Visina broda crkve je $5,4\text{ m}$ (gornja kota svoda), dok se sljeme nalazi na $11,4\text{ m}$. Visina vijenca sakristije nalazi se na $4,1\text{ m}$, a sljemena na $6,6\text{ m}$. Zvonik je najviši element građevina i njegova visina je $17,4\text{ m}$, odnosno $26,2\text{ m}$ na šiljastom vrhu krova zvonika. Svjetla visina prostora unutar crkve je $5,3\text{ m}$. Glavni građevni materijali korišteni za izgradnju crkve su opeka i kamen, te drvena građa za kroviste. Zidovi su izgrađeni od kamena s umetnutim dijelovima opeke, ožbukani izvana i iznutra. Debljina zidova iznosi 60 i 90 cm . Svodovi su izvedeni od opeke te su križnog oblika. Svodovi se oslanjanju na zidove koji su na mjestima glavnih linija svodova zadebljani te oblikovani kao stupovi u zidu. Zidovi crkve su na vrhu omeđeni horizontalnim armiranobetonskim serklažem, dimenzije $90 \times 30\text{ cm}$. Zapadni zatab crkve iznad glavnog ulaza je izведен kao omeđeno zide. Krovište kapele je klasična drvena visulja s daščanom oplatom i pokrovom crijeponom. Rogovi su dimenzija $10 \times 15\text{ cm}$, stup visulje $16 \times 20\text{ cm}$, dok je vezna greda $20 \times 22\text{ cm}$. Zidni elementi korišteni za izgradnju zvonika su kombinacija opeke i kamenja, te vezivni materijal niske kvalitete. Debljina zidova se smanjuje s visinom, od 165 cm u prizemlju do 85 cm na vrhu zvonika. Zidovi su ožbukani s vanjske strane i djelomično s unutrašnjem. Svaka cca $3,5\text{ m}$ visinski nalaze se drveni međupodesti međusobno povezani ljestvama. Konstrukcija zvona je čelična prostorna rešetkasta krnja piramida smještena na zadnjem katu i oslanja se na betonsku ploču debljine 10 cm , dok je kroviste zvonika drveno s daščanom oplatom. Crkva sv. Mihaela Arkandela je upisana u Registar kulturnih dobara Republike Hrvatske kao zaštićeno kulturno dobro pod oznakom Z-0723.

ISTRAŽNI RADOVI

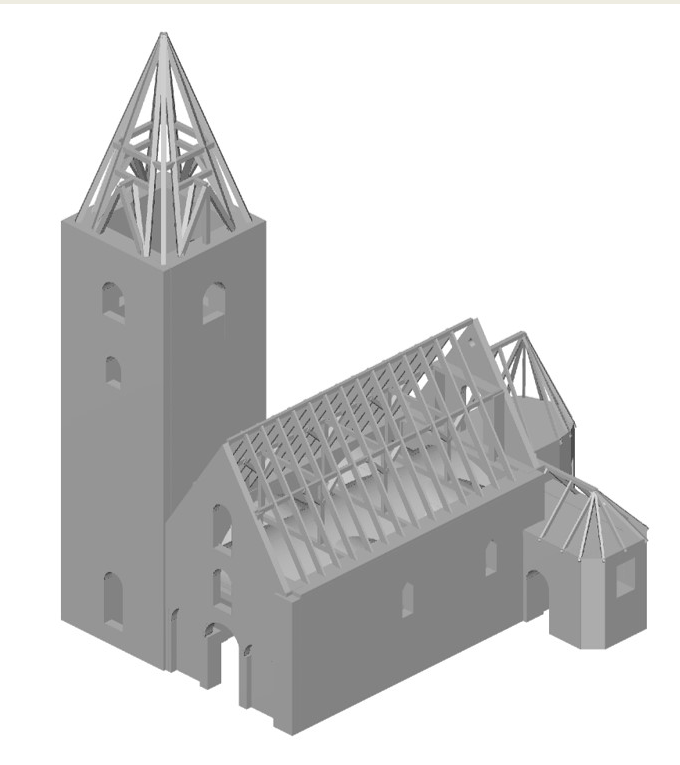


FOTOGRAFIJE	PRESJEK	OPS	MATERIALI	GEOMETRIJA	ANALIZA
		Pogled Presjek			
		Nepравilan каменни зид Зид се састоји од камених елемената различитих димензија. Елементи мањих димензија користили су за попunjавање прaznina између већих елемената. Узорак спајања, вертикални и хоризонтални већим делом неправilan.			
		Kamen – природни камен Морт – вапнени морт			
		Dimenzije elemenata: s=20 - 30 cm l=20 - 35 cm h=8 - 22 cm			
			WC MM SS VJ SM HU SD	Vertikalno Var U ravni	
			NF NF NF NF PF NF PF	Kategorija M MCI Meh karakteristike	
				1,4 1,05 1,05 In (MPa) E (MPa) τ_u (MPa)	
				1,3-2,15 800-890 0,024- 0,036	

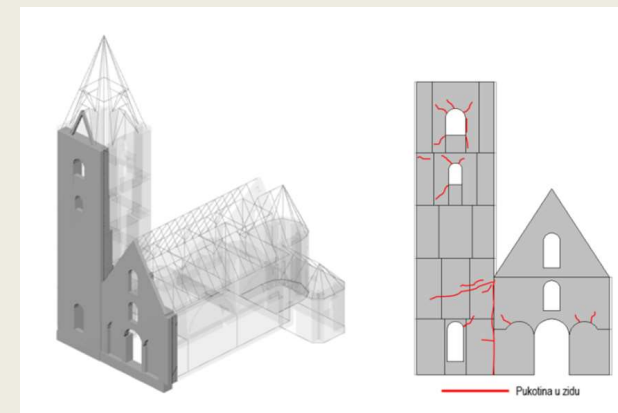
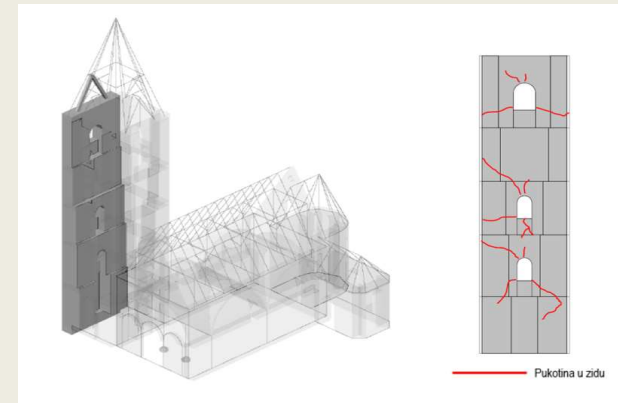
Istražna sondaža zida zvonika s klasifikacijom ziđa prema Borriju

Stručni pregled građevine sastojao se od detaljnog pregleda nosivih zidova, pregleda stropova i svodova, pregleda krovne konstrukcije, pregleda pročelja i zvonika. Uz navedeno, izvršeno je i mjerjenje geometrije nosivih elemenata, izrada fotodokumentacije s detaljima uočenih oštećenja, te istražni radovi na zidovima crkve i zvonika. Također su provedeni i geomehanički istražni radovi sa ciljem ocjene stanja temeljnog tla, te globalne stabilnosti obodnih padina. Klasifikacijom ziđa i određivanjem mehaničkih karakteristika načelno je potvrđena pretpostavka vizualnog pregleda o stanju ziđa. U većem dijelu građevine radi se o mješovitom višeslojnom sustavu kamenog ziđa s mortom loše kvalitete i niskih mehaničkih svojstava. Slojevi zidova u poprečnom smjeru nisu povezani te je upitna nosivost ziđa okomito na ravninu. Vrsta gradnje i korišteni materijali podudaraju se s vremenom izgradnje, odnosno s kronologijom građenja i dogradnji. Kameno ziđe je korišteno na najstarijim dijelovima crkve (brod i apsida), dok je materijal na kasnije izgrađenim dijelovima kombinacija kamena i opeke.

OŠTEĆENJA OD POTRESA



3D grafički model s prikazom pukotina

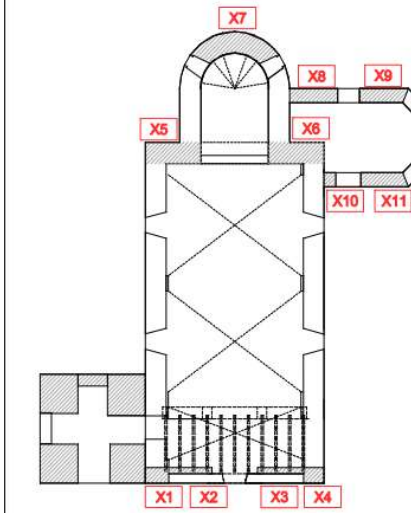


Kao važan segment istražne faze izrađen je detaljan grafički prikaz svih oštećenja koja su se manifestirala prije svega u vidu pukotina na zidanim strukturama. Pravilno iščitavanje dispozicije, smjera i dubine pukotina, te interpretacija istih otkriva nam sve slabosti građevine i određuje smjer planiranja zahvata popravka i pojačanja. Jedna od najvažnijih karakteristika nepravilnog kamenog povijesnog zida su nepravilni lomovi pojedinih zidnih blokova, otkazivanja zidova van ravnine, lokalna urušavanja lica zidova i slično. Takve mehanizme je vrlo teško predvidjeti bez dubinske analize unutarnje strukture zida i nelinearnih analitičkih modela.

SEIZMIČKA ANALIZA (1)

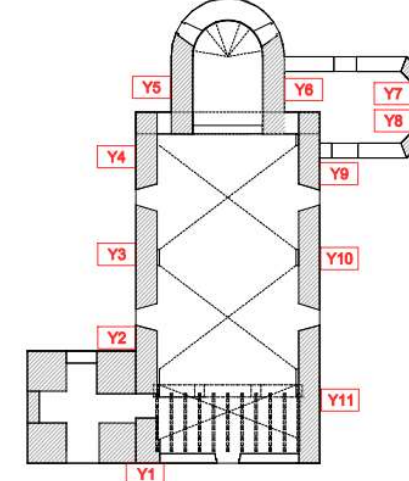
Smjer X

	Zid	Debljina	Duljina	Površina	Ukupna površina zidova jednog smjera	Postotak zidova jednog smjera
		[cm]	[cm]	[m ²]	[m ²]	[%]
Zidovi x smjera	X1	65	101	0,66	13,90	9,05
	X2	25	189	0,47		
	X3	25	189	0,47		
	X4	65	90	0,59		
	X5	90	240	2,16		
	X6	90	240	2,16		
	X7	90	385	3,47		
	X8	60	210	1,26		
	X9	60	200	1,20		
	X10	60	50	0,30		
	X11	60	195	1,17		



Smjer Y

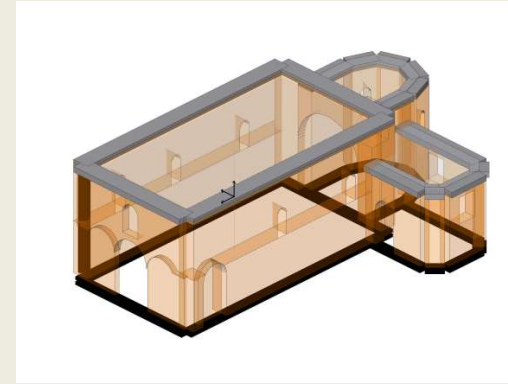
	Zid	Debljina	Duljina	Površina	Ukupna površina	Postotak zidova
		[cm]	[cm]	[m ²]	[m ²]	[%]
Zidovi y smjera	Y1	90	185	1,67	29,91	19,47
	Y2	90	268	2,41		
	Y3	90	400	3,60		
	Y4	90	300	2,70		
	Y5	90	380	3,42		
	Y6	90	380	3,42		
	Y7	60	120	0,72		
	Y8	60	120	0,72		
	Y9	90	300	2,70		
	Y10	90	400	3,60		
	Y11	90	550	4,95		



SEIZMIČKA ANALIZA (2)

Proračunski model

- Izrada prostornog modela u programu za proračun metodom konačnih elemenata (Tower 8.2).
- Elastična krutost elemenata konstrukcije je modelirana s četvrtinom vrijednosti, što predstavlja učinak raspucavanja.
- Unošenje vertikalnog opterećenja na svodove (opterećenje krova naneseno je površinski na svodove).
- Modalna analiza - provedena za 5 tonova ($T_k > 3V_n$)
- u uzdužnom smjeru (X) aktivirano je 99,86% mase
- u poprečnom smjeru (Y) aktivirano je 99,87% mase
5. Seizmički proračun
 - ubrzanje tla a = 0,13 g (za 95-godišnji povratni period)
 - kategorija važnosti objekta: III → Gama = 1 (zgrade čija je potresna otpornost važna s obzirom na posljedice vezane s rušenjem)
 - faktor ponašanja q = 1,5
 - kategorija tla C
 - poprečna sila u podnožju :
 - smjer X = 1638 kN (20% ukupne težine crkve)
 - smjer Y = 1462 kN (18% ukupne težine crkve)



id	L_w [cm]	I [cm]	A [cm 2]	V_{ax} = N_{ax}/f_a	N_{ax} = $(L_w / I) \times V_{ax}$	M_{ax} = $C_a \cdot V_{ax}$	σ_{ax} = N_{ax}/A	δ_{ax} = $f_a \cdot \sigma_{ax}$	t_p	v_{ax} = 0.05	l_m [cm]	M_{ax} / V_{ax}	V_{ay} [kN]	N_{ay} [kN]	M_{ay} / V_{ay}	ΔM_{ay} [kN]	R_x
X1	380	90	11310	219.6	162.3	148.5	0.144	0.057	0.107	0.051	124	2.87	7.33	62.0	5.45	185.5	
X2	380	90	24120	447.4	345.1	345.1	0.144	0.057	0.107	0.051	124	2.87	7.33	62.0	5.45	185.5	
X3	240	90	21600	219.5	245.1	144.2	0.123	0.049	0.096	0.051	195	96.4	2.64	111.7	1.03	119.1	
X4	380	90	27000	198.9	444.7	29.6	0.168	0.067	0.117	0.051	300	176.0	0.50	145.7	1.03	130.0	
X5	160	90	13500	108.9	229.7	77.7	0.170	0.068	0.118	0.061	124	7.9	1.45	79.3	1.34	32.0	
X6	160	90	13500	108.9	229.7	77.7	0.170	0.068	0.118	0.061	124	7.9	1.45	79.3	1.34	32.0	
X7	210	90	12600	160.4	147.1	45.1	0.153	0.053	0.103	0.059	210	72.1	2.27	67.1	2.44	98.4	
X8	210	90	12600	160.4	147.1	45.1	0.153	0.053	0.103	0.059	210	72.1	2.27	67.1	2.44	98.4	
X9	70	90	12600	160.4	147.1	45.1	0.153	0.053	0.103	0.059	210	72.1	2.27	67.1	2.44	98.4	
X10	380	90	12600	160.4	147.1	45.1	0.153	0.053	0.103	0.059	210	72.1	2.27	67.1	2.44	98.4	

$R_x = \min(V_{ax}, V_{ay}) / V_{ax}$

$R_x = A$

$\Sigma (R_x \times A) / \Sigma A = 0.399$ 39.2% 19.6%

id	L_w [cm]	I [cm]	A [cm 2]	V_{ax} [kN]	N_{ax} [kN]	M_{ax} [Nm]	σ_{ax} [N/mm 2]	δ_{ax} [mm/mm 2]	t_p [mm]	v_{ax}	l_m [cm]	M_{ax} / V_{ax}	V_{ay} [kN]	N_{ay} [kN]	M_{ay} / V_{ay}	ΔM_{ay} [kN]	R_x
Y1	268	90	24120	142.1	487.4	13.5	0.202	0.081	0.151	0.070	268	176.5	0.31	161.5	0.93	10.004	
Y2	268	90	24120	142.1	487.4	13.5	0.202	0.081	0.151	0.070	268	176.5	0.31	161.5	0.93	10.005	
Y3	268	90	27000	198.9	444.7	29.6	0.168	0.067	0.117	0.065	300	176.0	0.50	176.0	1.03	39994.50	
Y4	268	90	27000	198.9	444.7	29.6	0.168	0.067	0.117	0.065	300	176.0	0.50	176.0	1.03	39994.50	
Y5	190	90	13500	108.9	229.7	77.7	0.170	0.068	0.118	0.061	124	7.9	1.45	79.3	1.34	32.0	
Y6	190	90	13500	108.9	229.7	77.7	0.170	0.068	0.118	0.061	124	7.9	1.45	79.3	1.34	32.0	
Y7	190	90	11700	99.5	344.5	64.7	0.231	0.092	0.142	0.074	190	155.2	1.33	113.5	1.06	0.032	
Y8	190	90	11700	99.5	344.5	64.7	0.231	0.092	0.142	0.074	190	155.2	1.33	113.5	1.06	1.198	
Y9	190	90	11700	99.5	344.5	64.7	0.231	0.092	0.142	0.074	190	155.2	1.33	113.5	1.06	1.093	
Y10	190	90	4800	39.9	41.9	1.9	0.087	0.035	0.069	0.051	80	2.2	22.2	22.2	0.001	1.060	
Y11	115	90	29000	54.7	73.3	12.9	0.106	0.043	0.070	0.051	175	155.9	1.33	133.8	1.06	0.626	
Y12	115	90	29000	54.7	73.3	12.9	0.106	0.043	0.070	0.051	175	155.9	1.33	133.8	1.06	0.772	
Y13	90	90	38700	249.3	839.8	23.9	0.165	0.066	0.116	0.064	400	249.7	0.35	224.2	1.10	0.007	
Y14	90	90	38700	249.3	839.8	23.9	0.165	0.066	0.116	0.064	400	249.7	0.35	224.2	1.10	1.008	

$R_x = \min(V_{ax}, V_{ay}) / V_{ax}$

$R_x = A$

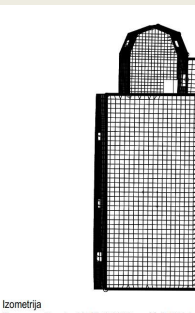
$\Sigma (R_x \times A) / \Sigma A = 1.002$ 109.2% 54.6%

id	L_w [cm]	I [cm]	A [cm 2]	V_{ax} [kN]	N_{ax} [kN]	M_{ax} [Nm]	σ_{ax} [N/mm 2]	δ_{ax} [mm/mm 2]	t_p [mm]	v_{ax}	l_m [cm]	M_{ax} / V_{ax}	V_{ay} [kN]	N_{ay} [kN]	M_{ay} / V_{ay}	ΔM_{ay} [kN]	R_x
Y1	268	90	11310	219.6	162.3	148.5	0.144	0.057	0.107	0.051	124	2.87	7.33	62.0	5.45	185.5	
Y2	268	90	24120	142.1	487.4	13.5	0.202	0.081	0.151	0.070	268	176.5	0.31	161.5	0.93	10.004	
Y3	268	90	24120	142.1	487.4	13.5	0.202	0.081	0.151	0.070	268	176.5	0.31	161.5	0.93	10.005	
Y4	268	90	27000	198.9	444.7	29.6	0.168	0.067	0.117	0.065	300	176.0	0.50	176.0	1.03	39994.50	
Y5	190	90	13500	108.9	229.7	77.7	0.170	0.068	0.118	0.061	124	7.9	1.45	79.3	1.34	32.0	
Y6	190	90	13500	108.9	229.7	77.7	0.170	0.068	0.118	0.061	124	7.9	1.45	79.3	1.34	32.0	
Y7	190	90	11700	45.9	93.2	11.3	0.080	0.032	0.062	0.050	150	53.2	0.32	52.1	0.63	1.188	
Y8	190	90	11700	45.9	93.2	11.3	0.080	0.032	0.062	0.050	150	53.2	0.32	52.1	0.63	1.188	
Y9	80	90	4800	39.9	41.9	1.9	0.087	0.035	0.068	0.051	80	2.2	22.0	22.0	0.001	1.060	
Y10	80	90	12600	147.7	139.3	87.6	0.117	0.047	0.092	0.056	177	86.9	2.60	86.9	2.62	98.4	
Y11	70	90	6900	54.7	73.3	12.9	0.106	0.043	0.065	0.055	115	26.5	1.60	16.0	20.3	0.005	
Y12	70	90	38700	249.3	839.8	23.9	0.165	0.066	0.116	0.064	400	249.7	0.35	224.2	1.10	25.1	
Y13	70	90	38700	249.3	839.8	23.9	0.165	0.066	0.116	0.064	570	30.2	0.37	301.2	0.37	0.003	

$R_x = \min(V_{ax}, V_{ay}) / V_{ax}$

$R_x = A$

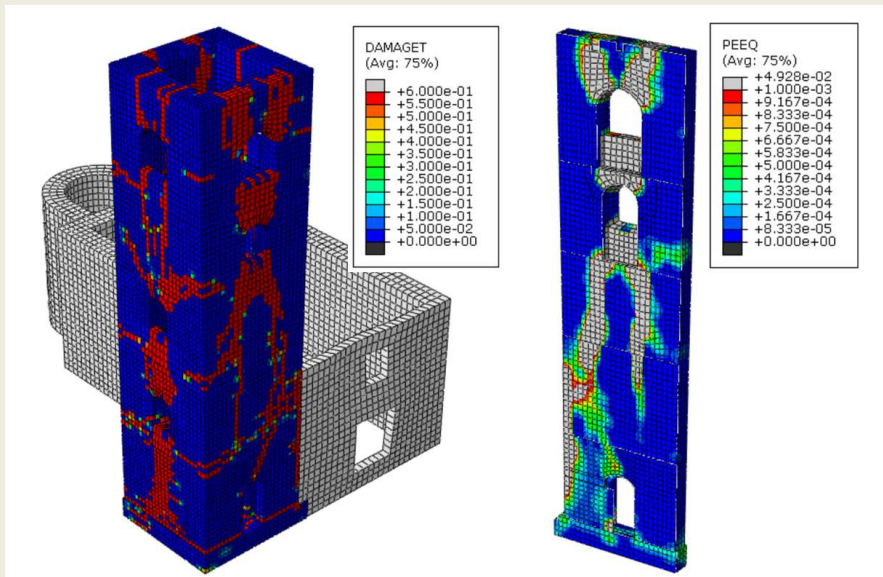
$\Sigma (R_x \times A) / \Sigma A = 0.366$ 39.2% 19.0%



Izometrija
Forma osciliranja: 2/5 [T=0.2700sec / f=3.70Hz]



SEIZMIČKA ANALIZA (2)



Rasprostiranje oštećenja tornja zbog vlačnih naprezanja (a) i područje rasprostiranja pukotina u prednjem zidu (prikazan presjek kroz prednji zid) (b)

Proračuni konstrukcije su provedeni u programskom paketu Abaqus Standard. Proračun je utemeljen na metodi konačnih elemenata te je provedena dinamička nelinearna analiza konstrukcije. Simulirano je djelovanje potresa čije ubrzanje tla na lokaciji približno odgovara potresu koji je pogodio Zagreb 22.3.2020. godine. Frekvencijski spektar potresnog zapisa odgovara trenutno važećem propisu u Republici Hrvatskoj. Potres je definiran sa tri komponente zapisa ubrzanja, dvije horizontalne i jedna vertikalna. Zbog geometrije i složenosti modela korišteni su volumni konačni elementi.

Za simuliranje ponašanje ziđa korišten je model CDP (engl. Concrete Damage Plasticity) u programskom paketu Abaqus koji dobro opisuje ponašanje ziđa pri dinamičkom opterećenju.

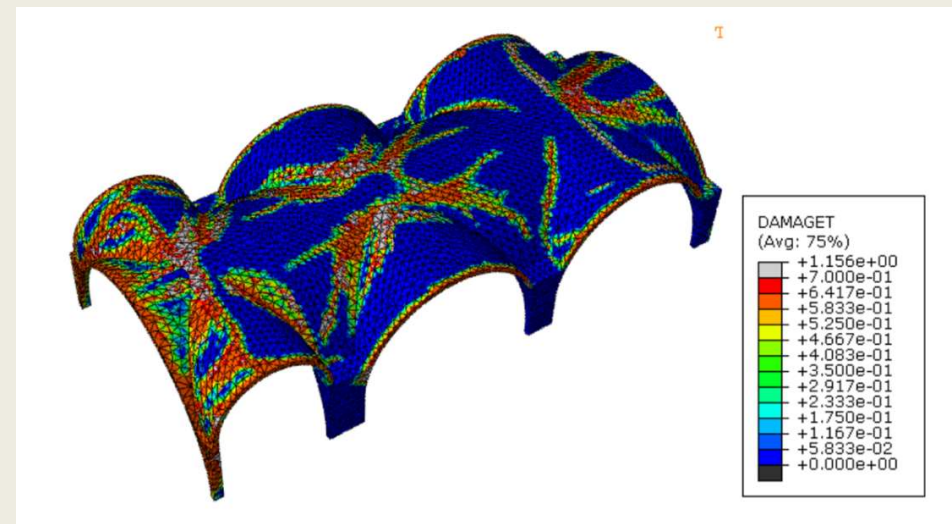
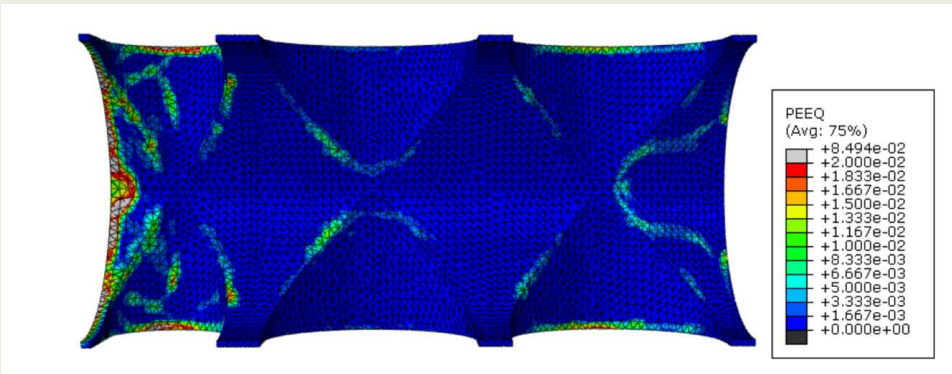
Odabranim se modelom mogu dovoljno dobro s obzirom na raspoložive podatke opisati mehanizmi otkazivanja konstrukcije pri složenu stanju naprezanja.

Konstitucijski model ziđa pretpostavlja dva tipa mehanizma sloma, a to su vlačno raspucavanje i drobljenje materijala u tlaku. U tlaku je veza naprezanja i deformacija linearna do određene točke nakon koje slijedi očvršćenje do maksimalnoga naprezanja, a potom slijedi omekšavanje materijala uz neelastične deformacije.

Pri vlačnomu naprezanju model slijedi linearnu vezu do pojave pukotine u materijalu. Nakon toga dolazi do omekšavanja s lokalizacijom deformacija u elementu. Ponašanje ziđa u raspucanomu stanju podrazumijeva definiranje poslijekritičnoga naprezanja kao funkcije ovisne o pukotinskim vlačnim deformacijama



NUMERIČKI PRORAČUN (II)



Zbog složenosti i količine rezultata u nastavku su izdvojeni karakteristični rezultati proračuna.

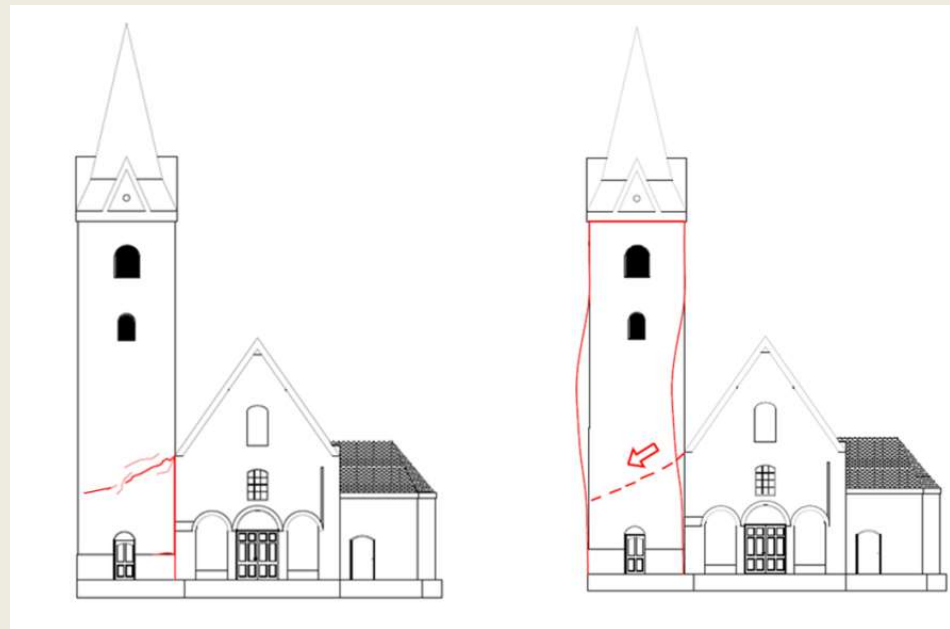
Može se uočiti da numerički model relativno dobro reproducira pukotine koje su se pojavile na tornju i svodu crkve. Treba naglasiti da velik dio pukotina na konstrukciji nije vidljiv zbog fasade ili zato što je u unutrašnjosti zida. Također, numerički su pokazane i mikropukotine koje se potencijalno s vremenom mogu razviti u šire i ozbiljnije pukotine. Pri sljedećim manjim potresima je poseban naglasak na praćenju razvoja tih pukotina.

Područja oštećenja materijala (drobljenje materijala i vlačno raspucavanje) s gornje strane svoda crkve su vizualno teže uočljive zbog samog sastava i slojeva svoda s gornje strane. Međutim, takva oštećenja su opasna jer predstavljaju mesta propagacije pukotina čak i za stalno opterećenje što vodi na mehanizam otkazivanja konstrukcije svoda koja je vitka i osjetljiva na bilo koje dinamičke i horizontalne utjecaje.

(a) Područje rasprostiranja pukotina s unutrašnje strane svoda crkve prikazanog preko ekvivalentnih plastičnih deformacija

(b) Rasprostiranje oštećenja materijala u svodu zbog vlačnih naprezanja

UTVRĐIVANJE MEHANIZAMA OŠTEĆENJA

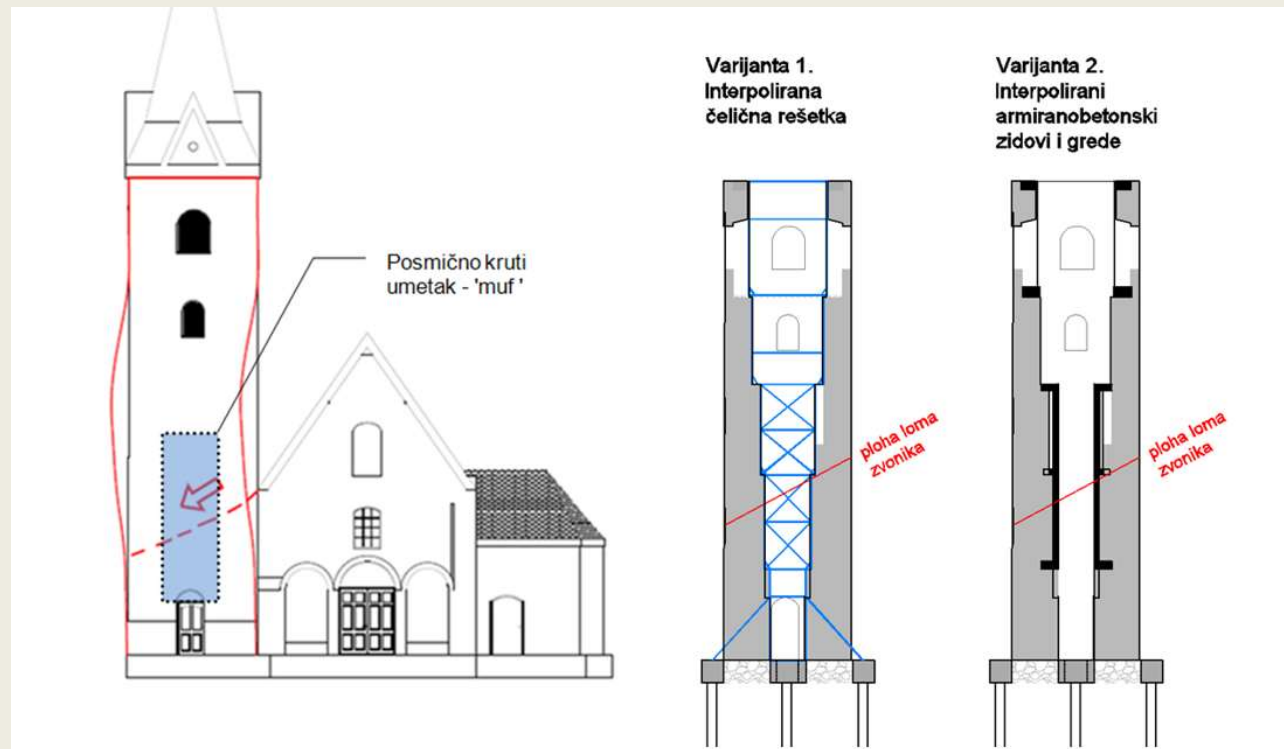


Osnovni mehanizam oštećenja tornja

Popis utvrđenih mehanizama:

- Horizontalni (blago kosi) lom zvonika u visini vijenca crkve. Dominantno vidljiva posljedica potresa je aktivacija klizne plohe na zvoniku uslijed nepovoljnog međudjelovanja crkve i zvonika. Prilikom pregleda dodatno je utvrđeno značajno zakravljenje vertikalnog brida zvonika na sjevernoj strani koje ukazuje na deformaciju prema prikazanoj shemi
- Lokalni blokovski mehanizmi otkazivanja gornjeg dijela zidova zvonika. Pukotine u gornjem dijelu zvonika ispod vijenca krovišta upućuju na cijeli niz mogućih lokalnih otkazivanja zidova.
- Moguća horizontalna nestabilnost zbog značajnog nedostatka zidova poprečnog smjera (sjever-jug) na ulaznom dijelu crkve. S obzirom na raspored i debljinu zidova i stupova u prizemlju zapadnog pročelja, na tom je mjestu moguća pojava 'mekog' prizemlja.
- Odvajanje zidanog svoda crkve od zidova u oba smjera. Prilikom pregleda unutrašnjosti crkve te svodova s gornje strane, uočeno je odvajanje svodova na mjestima gdje nisu pridržani zategama (sjeverna i južna strana) do širine 15 mm.

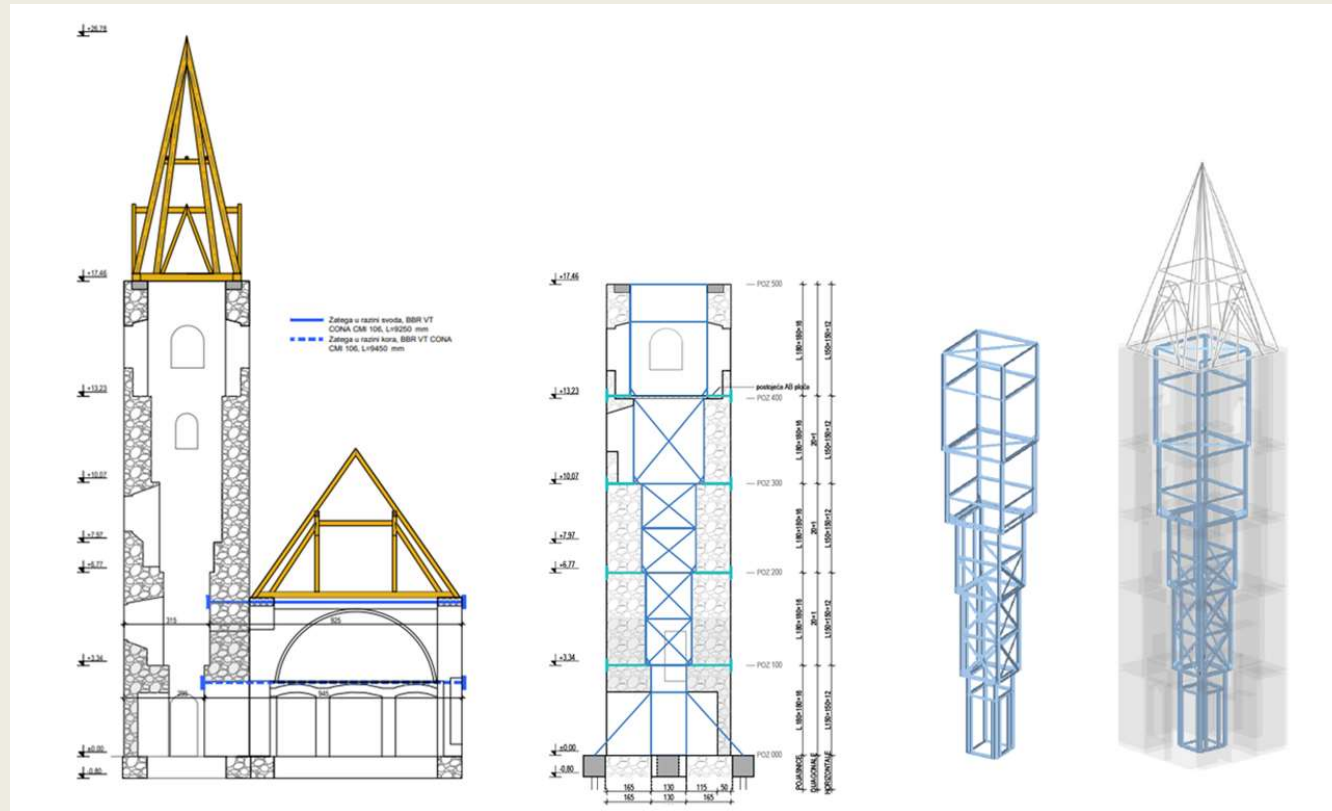
IDEJNA RJEŠENJA OBNOVE TORNJA



Koncepcijska rješenja stabilizacije zvonika: interpolirana čelična rešetka ili armiranobetonski zidovi

Stabilizacija zvonika zbog posmičnog sloma u nivou vijenca crkve koncepcijски se predviđa interpolacijom nove posmično krute strukture uz unutarnju stijenku zidova zvonika. U statičkom smislu radi se o krutom umetku ('mufu') koji bi trebao preuzeti transfer posmične sile na kritičnom dijelu visine zvonika gdje se utvrdila ploha kosog sloma. S obzirom na važnost za globalnu stabilnost cijele strukture, predloženi koncept je moguće izvesti na dva načina: interpoliranom čeličnom rešetkom diskretno spojenom sidrima s osnovnom zidanom strukturuom ili armiranobetonskim umetkom u formi zida jednostrano betoniranog uz unutarnju stijenku u kritičnoj visini zvonika

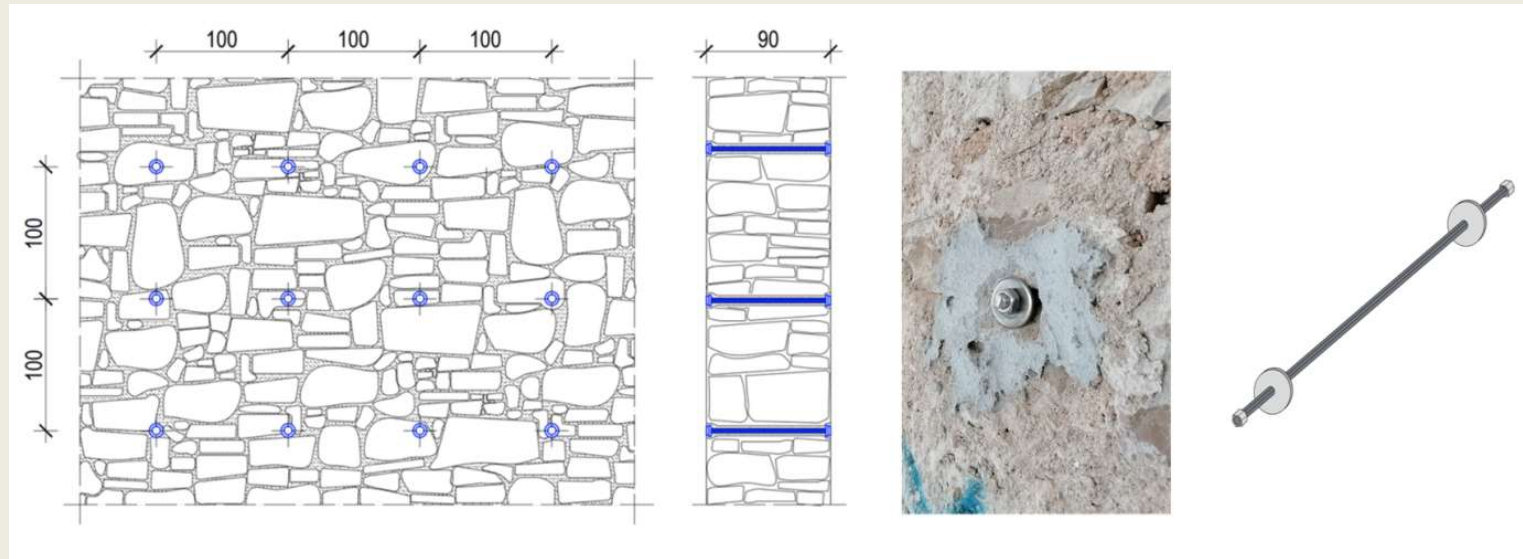
PROJEKT OBNOVE - TORANJ



Odobrano projektno rješenje - stabilizacija zvonika interpoliranim čeličnom konstrukcijom (+ u nivou vijenca crkve su vidljive i zatege za spajanje tornja sa crkvom)

Čelična varijanta izmnimno je složena je za ugradnju, ali se radi o reverzibilnom tipu konstrukcije koji ne utječe bitno na izvornu krutost povijesne strukture. Međutim uz vanjske horizontalne obujmice te spojna inox sidra ova čelična nadogradnja višestruko povećava kapacitet protupotresne otpornosti sprječavajući čitav niz prijevremenih lokalnih otkazivanja zidova van ravnine. Čelična struktura imala bi, osim funkcije posmičnog pojačanja na mjestu loma, djelomično preuzeila vlačnu komponentu globalne savojne otpornosti zvonika kao konzole i to sa čeličnim vlačnim dijagonalama u dnu stupa. Također je predviđeno pojačanje temelja u vidu roštilja temeljnih traka dodatno stabiliziranih vertikalnim geotehničkim sidrima.

TEHNIKA SPAJANJA ZA SPRJEČAVANJE DELAMINACIJE KAMENOOG ZIĐA

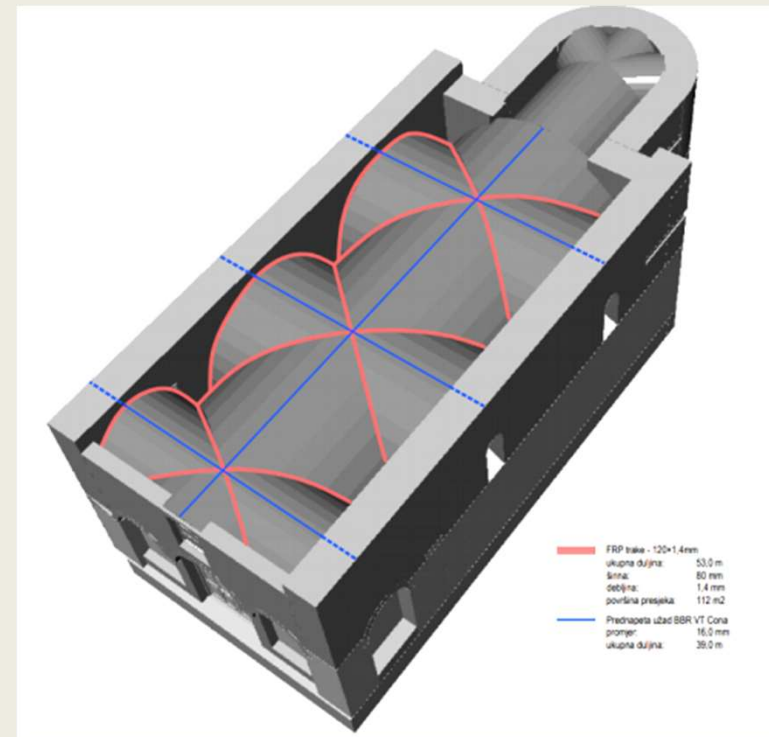
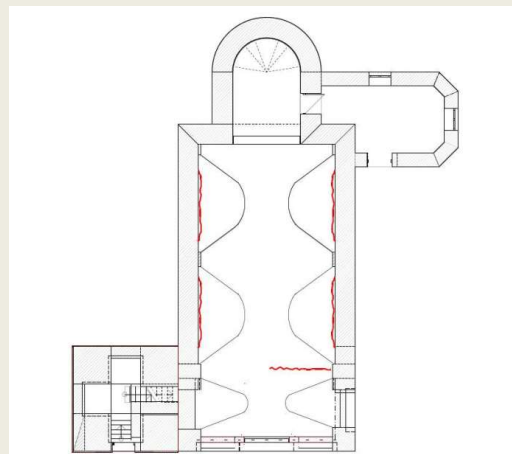


Zbog loše kamene strukture zidanih zidova zvonika utvrđenom istražnim sondažama, te endoskopskim pregledima istražnih bušotina kroz tijelo zida, predviđaju se mjere povezivanja vanjskih lica zidova inox šipkama sa ciljem sprječavanja delaminacije. Također se u donjem dijelu zidova tornja radi povećanja posmične otpornosti baze predviđa injektiranje.



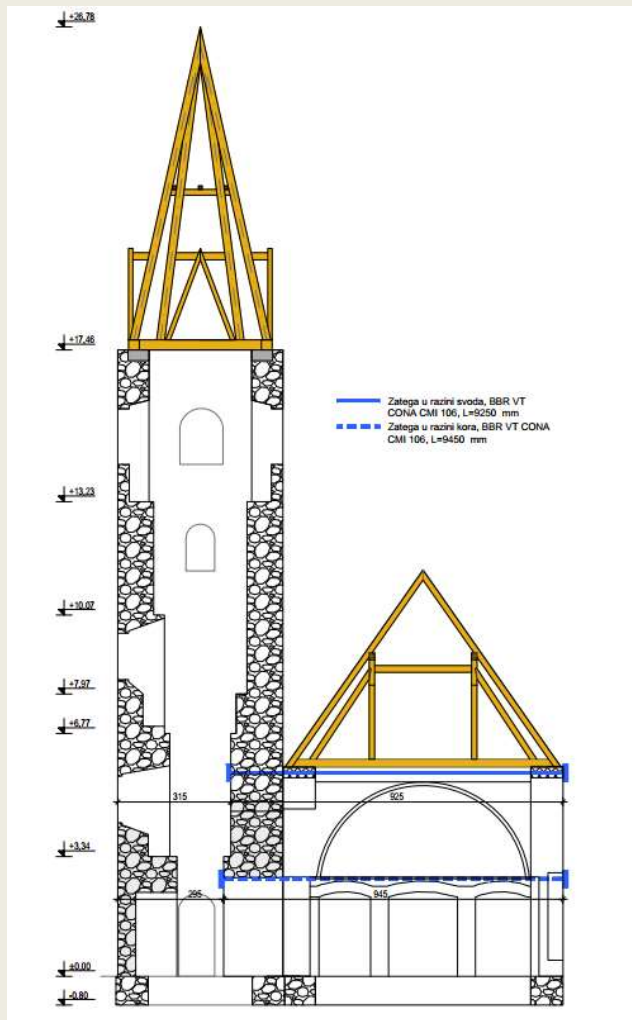
PROJEKT OBNOVE – SVODOVI CRKVE

Iako je postojeći horizontalni serklaž po obodu zidova crkve značajno pridonio dobrom ponašanju strukture u potresu, pa tako i minimalnim oštećenjima svodova, evidentirane pukotine upućuju na početak otvaranja mehanizama oštećenja svoda. Radi se o blagom razdvajaju uzdužnih zidova od svoda čime isti ostaje u nestabilnom polupridržanom stanju koje pri jačim potresima može progresijom rezultirati djelomičnim urušavanjem. Stoga se kao mjera popravka, ali i pojačanja izvode dvije grupe zahvata kojima bi se značajno povećala otpornost te zidane strukture. Kao mjera stabilizacije postavlja se sustav ortogonalnih naknadno prednapetih zatega u oba glavna smjera i to u visini tjemena svodova. Time se smanjuje mogućnost razilaženja glavnih osloničkih linija. Kao druga grupa zahvata izvodi se linijsko pojačanje presječnih izvodnica križnih svodova ljepljenjem karbonske tkanine nosive u smjeru izvodnica. Oba zahvata spadaju u prihvatljive tehnike rezervabilnog tipa kojima se minimalno zadire u osnovnu strukturu i kod kojih se učinkovito može provoditi monitoring i aktivnosti redovnog održavanja.



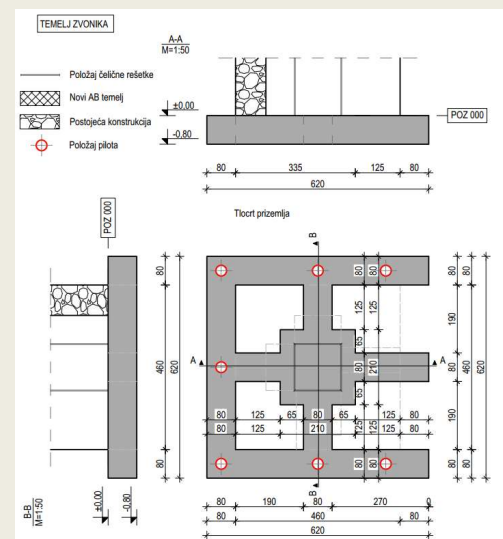
Mjere pojačanja zidanog svoda s gornje strane
(plava linija – prednapete čelične zatege i crvena
linija – jednosmjerne ljepljene karbonske tkanine)

SPAJANJE DILATACIJA I POJAČANJE TEMELJA

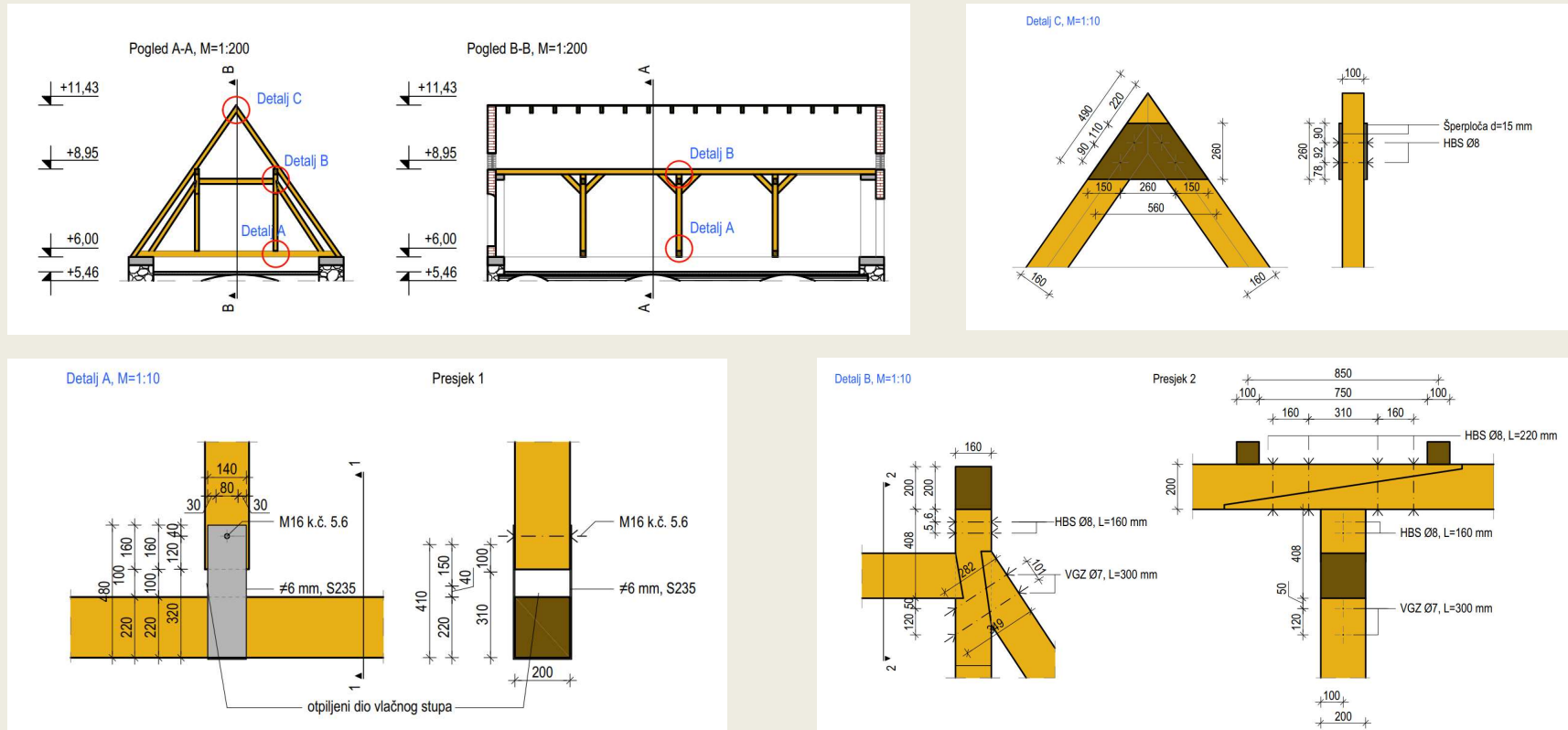


Radi poprečne stabilizacije ulaznog dijela crkve, u razinama kora te potkroviju predviđa se povezivanje tornja i crkve prednapetim vlačnim čeličnim zategama. Time se osigurava zajedničko djelovanje elemenata crkve i tornja te se crkva, značajno oslabljenih zidova u zapadnom prizemlju, prihvata za zvonik. S obzirom da se planiranim obnovom ne utječe na masu obaju građevina, te tako niti na temeljno tlo, predmetni zahvat spajanja dilatacija je prihvatljiv i preporučljiv.

Općenito, zahvati seizmičkog spajanja različitih dilatacija moraju imati konsolidirane uvjete u obama temeljnim sustavima, kako ne bi došlo do diferencijalnog slijeganja. Također je pri seizmičkoj analizi potrebno realno pretpostaviti prijenos horizontalnih opterećenja na kruće elemente i tako ih i dimenzionirati



LOKALNA POJAČANJA DRVENOG KROVIŠTA



Stanje elemenata:

Prisutne su uzdužne pukotine u gredama i stupovima glavnih nosača- pukotine od isušivanja i volumnog „rada“ drva, iako pukotine bitno ne utječu na kapacitet nosivosti elementa, iste značajno smanjuju trajnost i predstavljaju rizična mesta biološke zaraze. Vidljive pukotine na mjestu spoja elemenata

Zahvati sanacije i pojačanja- kroviste crkve

Lokalna pojačavanja spojeva vijcima za drvo

Lokalna pojačavanje čeličnim vezicama



ZAKLJUČAK

Zaključno ćemo se osvrnuti na zahtjeve sigurnosti koje do sada nismo spominjali, a nezaobilazna su prepreka u procesu kvalitetne obnove graditeljske baštine. Naime, prema važećoj tehničkoj regulativi za crkvu sv. Mihovila predviđa se cjelovita obnova zgrade pri čemu se proračun potresnog djelovanja provodi za povratni period od 475 godina što je maksimalan zahtjev, kao kod projektiranja nove zgrade. Istovremeno projekt obnove potrebno je izraditi u skladu s posebnim uvjetima koje utvrđuje nadležno tijelo u skladu s propisima kojima se uređuje zaštita i očuvanje kulturnih dobara. Važećom regulativom, dakle, projektant mora predvidjeti tehnička rješenja koja jamče sigurnost ljudi a koja su prihvatljiva u pogledu očuvanja autentičnosti graditeljske baštine, što je gotovo ravno nemoguće. Dosadašnja praksa nema definiran taj vrlo osjetljiv odnos pitanja prilagodbe ili snižavanja kriterija mehaničke otpornost i stabilnosti pojedinoj zaštićenoj građevini. I to je zaključno možda najopasniji i moguće najrazorniji aspekt predstojeće obnove graditeljske baštine.

